

NIELINIOWY MODEL LINII
NOŚNEJ DLA WIRNIKA
W PRZEPLÝWIE OSIOWYM

dr inż. **Piotr STRZELCZYK**
Politechnika Rzeszowska

W artykule przedstawiono pewną modyfikację modelu linii nośnej w zastosowaniu do śmigieł i wirników nośnych pracujących przepływie osiowym. W odróżnieniu od tradycyjnej teorii linii nośnej model ten nie zawiera ograniczeń ze względu na kąty natarcia i wartości prędkości indukowanych. Jest to możliwe dzięki przedstawieniu charakterystyki nośności w formie iloczynu dwóch funkcji:

$$C_z = a_0 f(Ma, \alpha) \sin(\alpha - \alpha_0)$$

Opis ten pozwala na linearyzację całkowitego równania linii nośnej, o ile znany jest kształt śladu wirowego w przypadku nieznannej formy śladu wirowego jego kształt wyznacza się iteracyjnie korzystając z prawa Biot-Savarta, natomiast w przypadku wirników słabo obciążonych prędkości indukowane mogą być wyznaczone za pomocą tzw. asymptotycznych współczynników Lerbsa. W prezentowanej pracy przedstawiono porównanie wyników obliczeń z dostępnymi danymi doświadczalnymi.

$a_0 = \left(\frac{dC_z}{d\alpha} \right)_{\alpha^{(0)}=0}^{\Lambda \rightarrow \infty}$	pochylenie charakterystyki nośności profilu dla kąta zerowej siły nośnej [1/rad]
B	ilość łopat
c	cięciwa [m]
C_x	współczynnik oporu profilowego
C_z	współczynnik siły nośnej
$C_{P_s} = \frac{P_s}{\rho n_s^2 D^4}$	współczynnik ciągu
$C_N = \frac{N}{\rho n_s^3 D^5}$	współczynnik mocy
D	średnica śmigła [m]
i, j	indeksy
$i_a = v_x \frac{4\pi(r_c - r_v)}{\Gamma}$	osiowy współczynnik indukcji Lerbsa
$i_\theta = v_\theta \frac{4\pi(r_c - r_v)}{\Gamma}$	obwodowy współczynnik indukcji Lerbsa
$J = \frac{V_\infty}{n_s D}$	posuw śmigła
n_s	obroty na sekundę [1/s]
r	promień bieżący [m]
R	promień wierzchołka łopaty [m]
$S(\xi_c) = \frac{a_0 \chi_c(\xi_c)}{2}$	parametr kształtu łopaty
v_x	osiowa prędkość indukowana [m/s]
v_θ	obwodowa prędkość indukowana [m/s]
V_∞	prędkość przepływu niezaburzonego [m/s]
$W = \sqrt{(V_\infty + v_x)^2 + (\Omega r - v_\theta)^2}$	prędkość względna [m/s]
$\alpha^{(0)}$	kąt natarcia, mierzony od linii zerowej siły nośnej [°]
$\beta^{(0)}$	lokalny kąt nastawienia łopaty mierzony od linii zerowej siły nośnej [°]
Γ	cyrkulacja [m ² /s]
$\chi = \frac{C_z}{a_0 \sin \alpha^{(0)}}$	sprawność profilu
δ_n	azymut łopaty o numerze n [°]
ϕ	lokalny kąt napływu lub kąt pochylenia linii wirowej [°]
$\eta = x/R$	bezwymiarowa współrzędna w kierunku osiowym
ϑ	azymut elementu wirowego odniesiony do łopaty nr 1 [°]
ρ	gęstość ośrodka [kg/m ³]
$\xi = r/R$	promień bezwymiarowy
ψ	kąt pochylenia elementu wirowego [°]
Ω	prędkość kątowa śmigła [rad/s]

UWAGA

wielkości liniowe ubezwymiarowano, dzieląc je przez R , prędkości przez ΩR , cyrkulację przez ΩR^2 .

1. WSTĘP

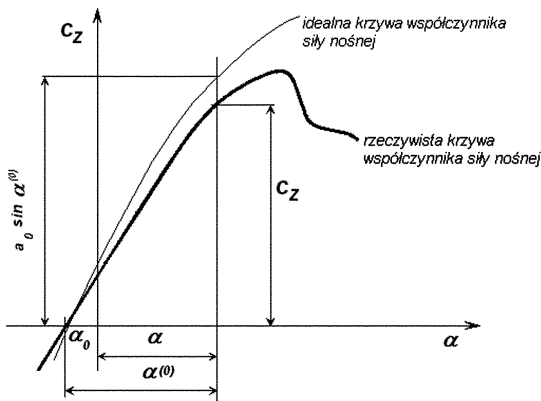
Model linii nośnej w swych różnych postaciach [1], [2], [3], [4], [7], [10] nadal znajduje zastosowanie do analizy osiągow jak również projektowania śmigieł. Wiąże się to głównie z jego względną prostotą, jak również z możliwością wykorzystania profilowych charakterystyk do wyznaczania siły nośnej i oporu profilowego elementu łopaty. U podstaw większości z tych modeli leży założenie o liniowości charakterystyki nośności profilu, oraz założenie o małości prędkości indukowanych w porównaniu z osiową prędkością napływu i prędkością obwodową elementu łopaty. Niektóre z modeli teoretycznych [1], [6] nie zawierają tego założenia, lecz wykorzystują schemat analogiczny do „1/4-3/4” Weissingera-Pistolessiego [8]. Z takiej postaci modelu wynika liniowa charakterystyka elementu łopaty. Inne modele, w tym oryginalna teoria Lerbsa [7], które dopuszczają dowolne wartości prędkości indukowanych przy równoczesnym założeniu liniowości charakterystyki nośności profilu $C_Z = f(\alpha)$ prowadzą do skomplikowanych postaci równania całkowego linii nośnej. Prezentowany niżej model linii nośnej dla śmigła nie zawiera ograniczeń formalnych ze względu na wartości prędkości indukowanych. Uzyskane równanie linii nośnej jest równaniem liniowym.

2. MODEL TEORETYCZNY WIRNIKA

Podany niżej model teoretyczny wykorzystuje pewną, nieliniową postać charakterystyki nośności profilu. Przyjęto, że krzywa $C_Z = f(\alpha)$ opisana jest przez iloczyn dwóch funkcji: $\chi_p(\alpha^{(0)})$ i $\sin \alpha^{(0)}$:

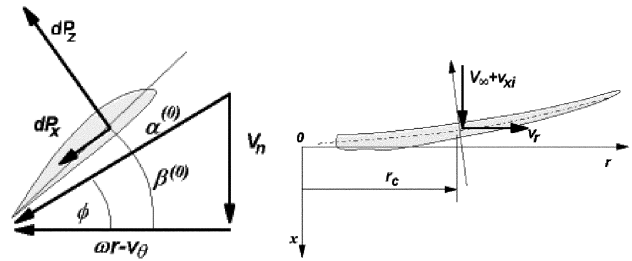
$$C_Z = a_0 \chi_p \sin \alpha^{(0)} \quad (1)$$

$$a_0 = (dC_Z/d\alpha)_{\alpha \rightarrow \infty, C_Z=0}$$



Rys. 1. Charakterystyka nośności elementu łopaty

przy czym wartość funkcji $\chi_p(\alpha^{(0)})$ wyznacza się na podstawie znajomości doświadczalnej charakterystyki profilu. Charakterystykę tę przedstawiono schematycznie na rysunku 1. Założono również, że kąt linii ugięcia łopaty (wynikająca np. ze względów konstrukcyjnych), lub kąt stożka wirnika jest mały.



Rys. 2. Siły i prędkości w układzie współrzędnych związanym z elementem łopaty

Cyrkulacja wokół elementu łopaty określona jest wzorem:

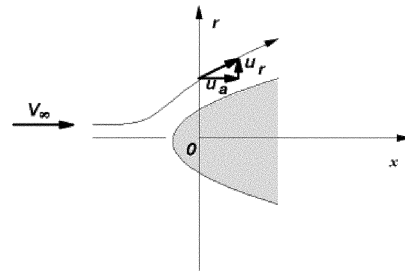
$$\Gamma(r) = \frac{1}{2} W c C_Z \quad (2)$$

Składowa normalna wektora prędkości do osi łopaty wektora wynosi:

$$V_n = V_{\infty} \tilde{u}_a + v_x + \frac{dx}{dr} (v_r + V_{\infty} \tilde{u}_r) \quad (3)$$

a składowa obwodowa, dla danego przekroju wynosi:

$$V_t = \omega r - V_{\theta} \quad (4)$$



Rys. 3. Zaburzenie pola prędkości generowane przez kadłub

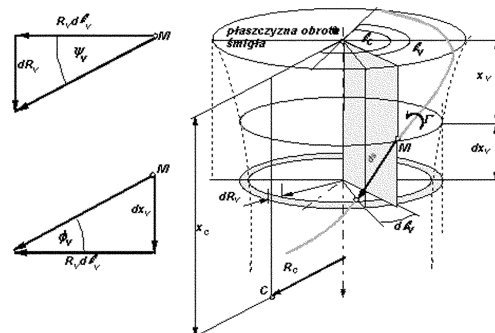
We wzorach (2) i (3) uwzględniono nominalne, osiowo-symetryczne pole prędkości wytwarzane przez kadłub/gondolę, w płaszczyźnie obrotu śmigła (rys. 3).

Uwzględniając zależności geometryczne pomiędzy składowymi wektora prędkości przedstawionymi na rysunku 2, korzystając z (1...4), po ubezwymiarowaniu otrzymujemy zależności:

$$\bar{\Gamma}(\xi_c) = \bar{\Gamma}_0(\xi_c) - S(\xi_c) \cdot \left[\bar{V}_{\theta} \sin \beta^{(0)} + \bar{V}_x \cos \beta^{(0)} + \bar{V}_r \frac{dx}{d\xi} \cos \beta^{(0)} \right] \quad (5)$$

a wielkość:

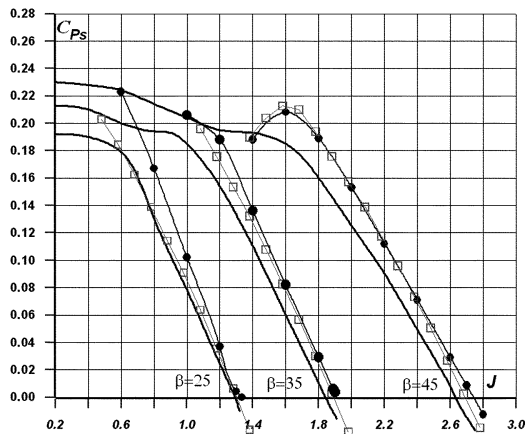
$$\bar{\Gamma}_0(\xi_c) = S(\xi_c) \cdot \left[\xi_c \sin \beta^{(0)} - \lambda \left(\tilde{u}_a + \tilde{u}_r \frac{d\bar{x}}{d\xi} \right) \cos \beta^{(0)} \right] \quad (6)$$



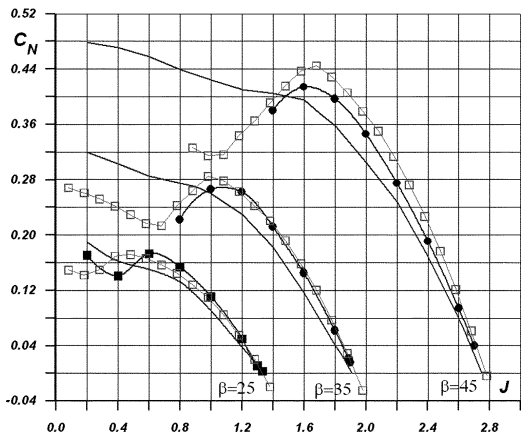
Rys. 4. Wir śrubowy

w okolicy wierzchołka łopaty występują w pobliżu wartości posuwów odpowiadających maksimum obliczeniowej charakterystyki ciągu. Ponadto występuje pewne przesunięcie obliczeniowego punktu przejścia śmigła w stan hamulca. Podobną własność wykazują również obliczeniowe charakterystyki mocy, z tym jednak, że przewidywany punkt przejścia w stan wiatrakowania zgadza się bardzo dobrze z danymi doświadczalnymi. Przebiegi obliczeniowych charakterystyk mocy dla kątów 35 i 45 stopni mają jakościowo ten sam charakter jak krzywa mocy dla kąta nastawienia 25 stopni, jednak ze względu na przejrzystość rysunku 7 nie pokazano ich części w zakresie małych posuwów.

W celu porównania metody linii nośnej z uproszczonymi metodami wirowymi zostały wykonane obliczenia rozszerzoną metodą Witoszyńskiego [8]. W obliczeniach zastosowano te same charakterystyki profilowe. Jak widać, przy większych kątach nastawienia łopat, metoda linii nośnej daje wyniki niemal identyczne z [8], natomiast ta ostatnia jest o wiele dokładniejsza w zakresie małych kątów nastawienia łopaty. Metoda ta charakteryzuje się również dużo mniejszą złożonością. Warto zauważyć również, że obie metody charakteryzują pojawianie się deficytu ciągu i mocy w zakresie dużych kątów nastawienia łopat. Jak widać, na podstawie przedstawionego tu przykładu do wyznaczania charakterystyk zewnętrznych śmigieł o konwencjonalnej geometrii na ogół wystarczające są uproszczone metody wirowe.

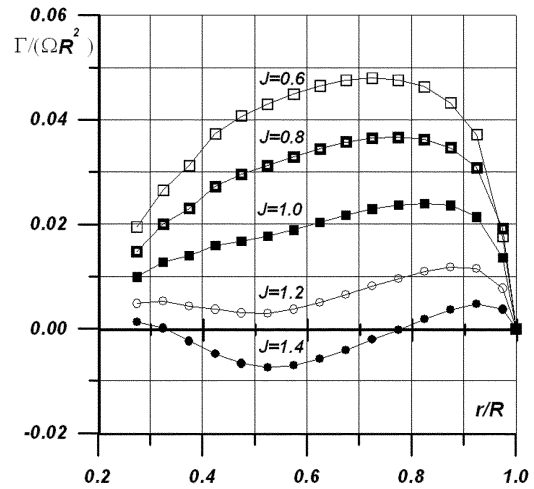


Rys. 6. Charakterystyki ciągu dla śmigła czterolopatowego. Kółka opisująca metoda, prostokąty udoskonalona metoda Witoszyńskiego

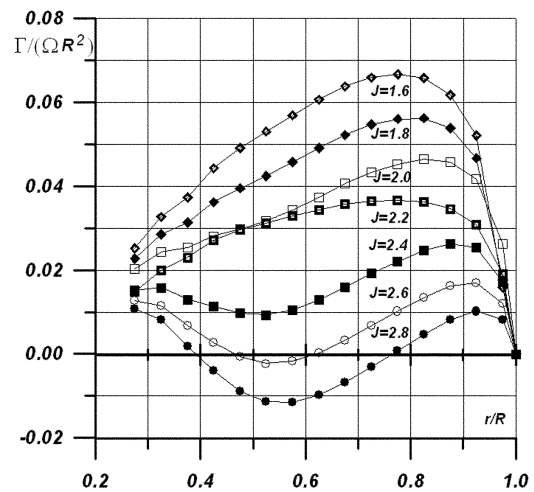


Rys. 7. Charakterystyki mocy dla śmigła czterolopatowego. Kółka opisująca metoda, prostokąty udoskonalona metoda Witoszyńskiego

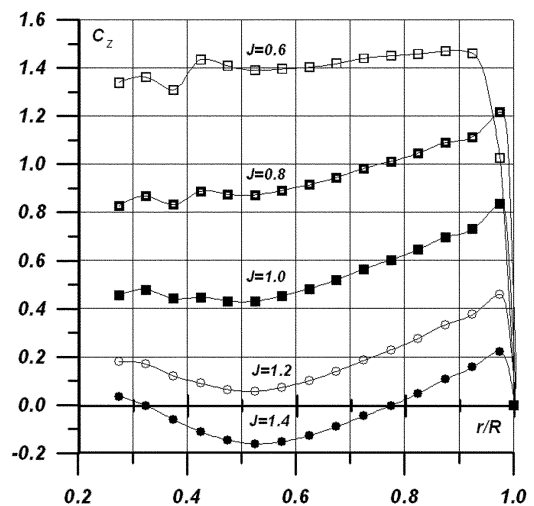
Na rysunku 8 i 9 zilustrowano rozkłady cyrkulacji na łopatach dla różnych wartości posuwów. Krzywe te, wyznaczone dla kątów nastawienia 25 i 45 stopni, są jakościowo podobne. Natomiast jakościowe różnice widoczne są dla przebiegów współczynnika siły nośnej w funkcji promienia i posuwu.



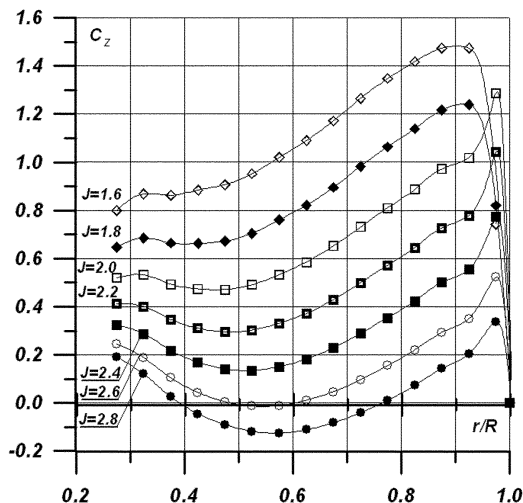
Rys. 8. Rozkłady cyrkulacji dla kąta nastawienia $\beta_{0.75} = 25^\circ$



Rys. 9. Rozkłady cyrkulacji dla kąta nastawienia $\beta_{0.75} = 45^\circ$



Rys. 10. Rozkłady współczynnika siły nośnej dla kąta nastawienia $\beta_{0.75} = 25^\circ$



Rys. 11. Rozkłady współczynnika siły nośnej dla kąta nastawienia $\beta_{0.75} = 45^\circ$

W pobliżu wierzchołka łopaty dla kąta nastawienia 45° stopni i dużych posuwów widoczne jest ostre maksimum współczynnika siły nośnej. Dla mniejszych posuwów maksimum współczynnika siły nośnej przesuwa się do środka łopaty. Jest to związane z początkiem oderwania w obszarze wierzchołka łopaty. Dla kąta 25° interesującą własnością jest praktycznie stały rozkład współczynnika siły nośnej dla posuwu $J = 0,6$. Oznacza to prawdopodobnie, że śmigło to było projektowane dla zbliżonej wartości posuwu.

4. WNIOSKI

W pracy przedstawiono model linii nośnej dla śmigła wykorzystujący pewną szczególną postać charakterystyki nośności profilu. Przyjęta postać tej charakterystyki prowadzi do znacznego uproszczenia postaci równania linii, bez konieczności uciekania się do założeń o małych wartościach prędkości indukowanych. Wykorzystując prezentowaną metodę wykonano obliczenia lokalnych i globalnych charakterystyk aerodynamicznych śmigła NACA 5868-9 CI-Y.

Stwierdzono poprawny charakter uzyskanych rozwiązań, w konfrontacji z danymi doświadczalnymi dla małych i umiarkowanych obciążeń dysku roboczego. Dla małych posuwów występuje deficyt ciągu i mocy („przeciągnięcie obliczeniowe”). Wynika to prawdopodobnie z faktu, że w warunkach przeciągnięcia łopaty przepływ staje się silnie trójwymiarowy (duże wartości radialnej składowej prędkości), a oddziaływanie siły Coriolisa na warstwę przyścienną może opóźniać oderwanie warstwy przyściennej [5],[10]. W obecnej wersji modelu zaniedbano również kontrakcję strugi. Wyniki prezentowane w tym tekście były uzyskane dla śmigła izolowanego, bez uwzględnienia wzajemnej interferencji śmigło-gondola. Sprzężenie to jest tym silniejsze, im mniejszy jest posuw, a więc i obciążenie dysku roboczego. Fakt nie uwzględnienia tego oddziaływania wynika przede wszystkim stąd, że nieznaną jest dokładna geometria gondoli silnika.

BIBLIOGRAFIA

- [1] **Ardito Maretta R. M.:** *Performance of Propeller Embedded in the Flowfield of the Wing.* Journal of Aircraft 1996, vol. 33, No. 5, pp. 919-923.
- [2] **Babin W. F., Zavadowski N. Y., Levkowskij N. Y., Miskiewicz W. G.:** *Grebnye vinty. Sovremennye metody rasczeta.* Sudostroenije Leningrad 1983, s. 64-76.
- [3] **Baskin W. E., Wil'dgrube L. S., Woždajew E. S., Majkapar G. I.:** *Teoria niesuszcziego vinta.* Maszinoostroenije. Moskwa 1973, s. 112-125.
- [4] **E Q., Yang G., Li F.:** *Numerical Analysis of the Interference Effect of Propeller Slipstream on Aircraft Flowfield.* Journal of Aircraft 1998, vol. 35, No. 1, pp. 84-90.
- [5] **Favier D., Ettaouil A. Maresca C.:** *Numerical and Experimental Investigation of Isolated Propeller Wakes in Axial Flight.* Journal of Aircraft 1989, vol. 26, No. 9, pp. 837-846.
- [6] **Hartmann E. P., Bierman D.:** *The Aerodynamic Characteristics of Full-Scale Propellers Having 2,3 and 4 Blades of Clark Y and RAF 6 Airfoil Sections.* NACA TR 640, Langley 1940.
- [7] **Lerbs H. W.:** *Moderately Loaded Propellers with a Finite Number of Blades and an Arbitrary Distribution of Circulation.* SNAME Transactions 1952, vol. 60, pp. 72-112.
- [8] **Strzelczyk. P.:** *Modyfikacja metody Witoszyńskiego: wpływ skończonej liczby łopat.* Prace Instytutu Lotnictwa 1996, nr 3, s. 107-118.
- [9] **Schlichting H., Truckenbrodt E.:** *Aerodynamik des Flugzeuges.* T. II s. 49-51.
- [10] **Tremmel M., Tauble D.B., Sonnenmeier J. R.:** *Numerical Determination of Circulation for a Swept Propeller.* Journal of Aircraft 2001, vol. 38, No. 6, pp. 1085-1092.

A NONLINEAR MODEL OF THE LIFTING
LINE FOR A ROTOR IN AXIALFLOW

Summary

Introduced is a modification to a lifting line model with application to propellers and main rotors working in axial flow. As a difference from traditional lifting line theory, this model does not contain limitations with respect to angles of attack and induced velocity values. This is possible thanks to the introduction of the characteristic of load-carrying ability in the form of a product of two functions:

$$C_z = a_0 f(Ma, \alpha) \sin(\alpha - \alpha_0)$$

This description allows for a linearization of the integrated lifting line equation, as long as the shape of the vortex trail is known. In the case of an unknown form of vortex trail, its shape is determined iteratively using the Biot-Savart law, however in the case of lightly-loaded rotors, induced velocities can be determined with the help of so-called Lerbs' asymptotic coefficients. In the work presented, the comparison of results of calculations with available experimental data is shown.

НЕЛИНЕЙНАЯ МОДЕЛЬ НЕСУЩЕЙ ЛИНИИ
ДЛЯ ВИНТА В ОСЕВОМ ТЕЧЕНИИ

Резюме

В работе представлена нелинейная модификация модели несущей линии применительно к винтам и несущим винтам работающим в осевом течении. В отличие от традиционного подхода к теории несущей линии эта модель не содержит ограничений связанных с углом атаки и величины индуктивных скоростей. Это возможно благодаря представлению характеристики несущей способности $C_z = f(\alpha)$ в форме произведения двух функций с $\chi_p(\alpha^{(0)})$ и $\sin \alpha^{(0)}$. Это описание позволяет линеаризовать интегральное уравнение несущей линии, если известен вихревой след. В случае неизвестной формы вихревого следа форму вихревой линии определяют путем итерации пользуясь законом Биота-Саварта, а в случае слабонагруженных винтов индуктивные скорости могут быть определены с помощью так называемых асимптотических коэффициентов Лербса. В настоящей работе представлено сравнение расчетов с доступными экспериментальными данными.